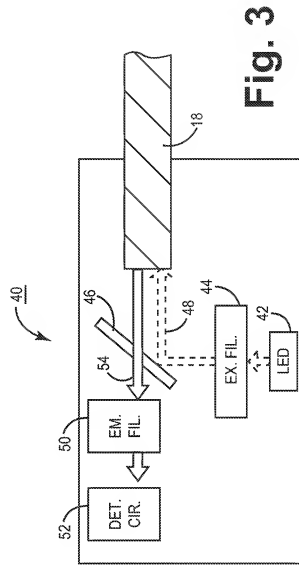
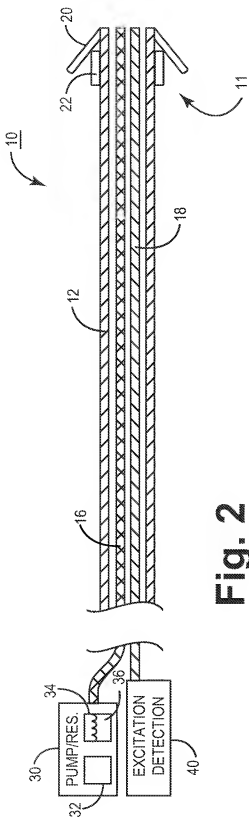


Fig. 1



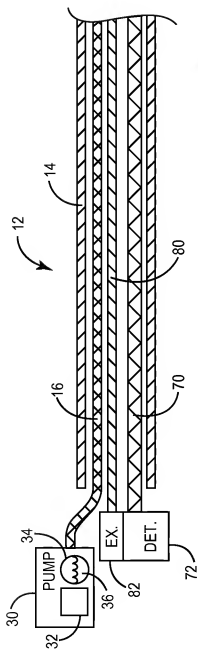


Fig. 4

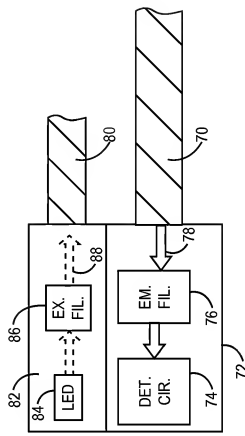


Fig. 5

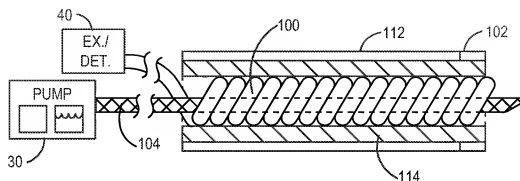


Fig. 6

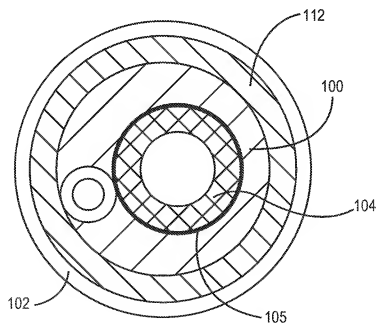


Fig. 7

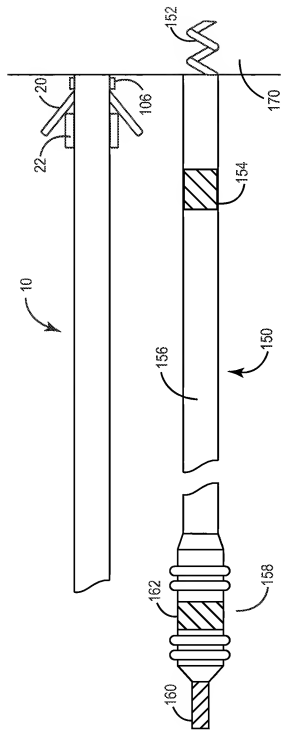


Fig. 8

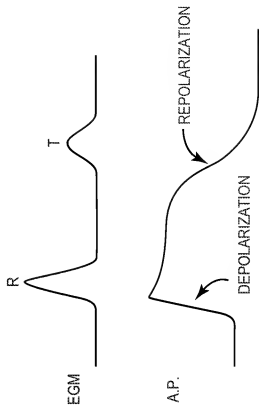


Fig. 9

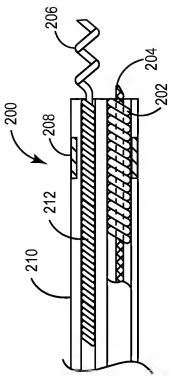


Fig. 11

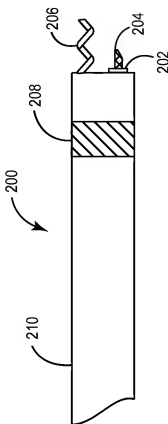
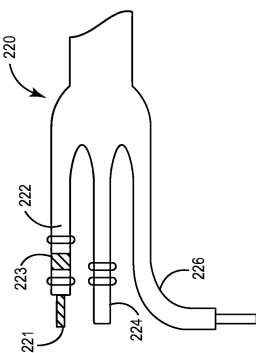


Fig. 10



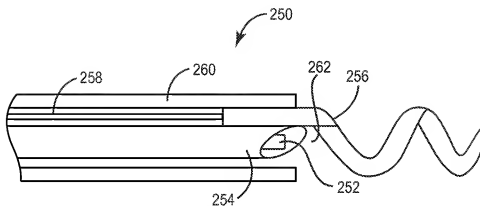


Fig. 12A

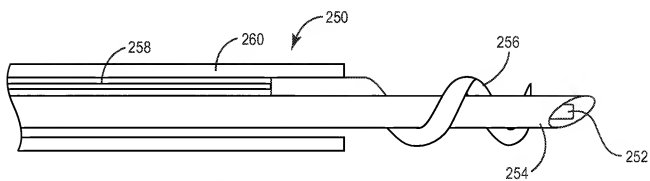


Fig. 12B

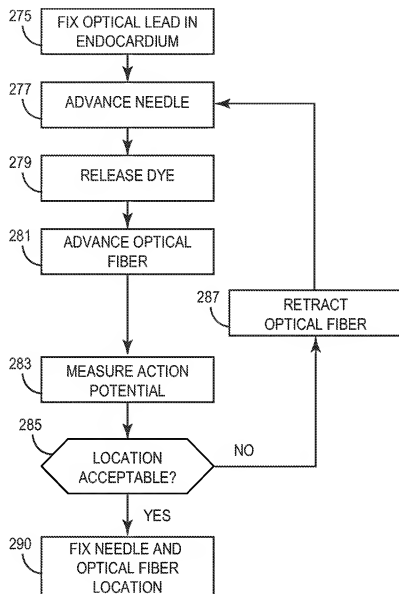


Fig. 13

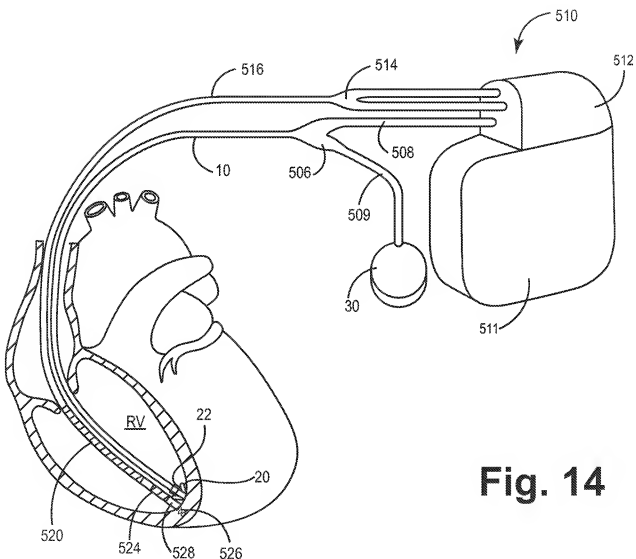


Fig. 14

510

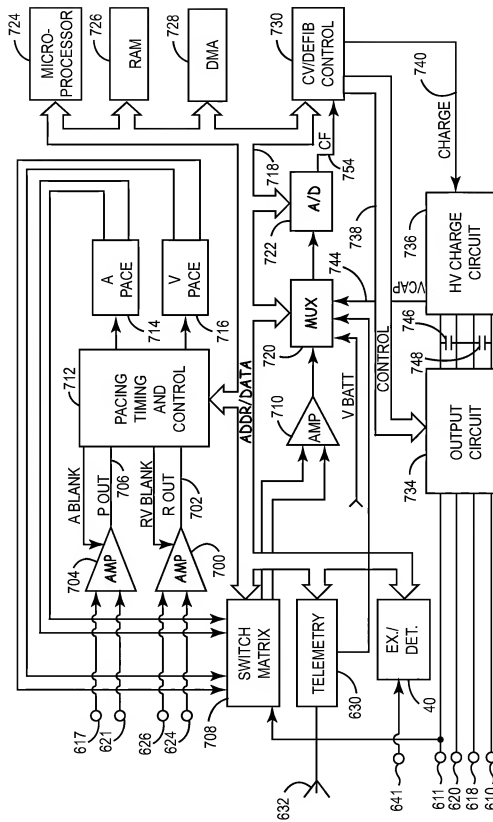


Fig. 15

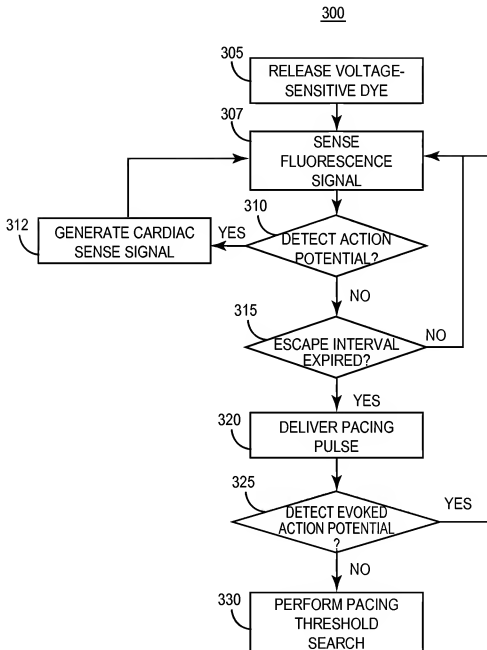


Fig. 16

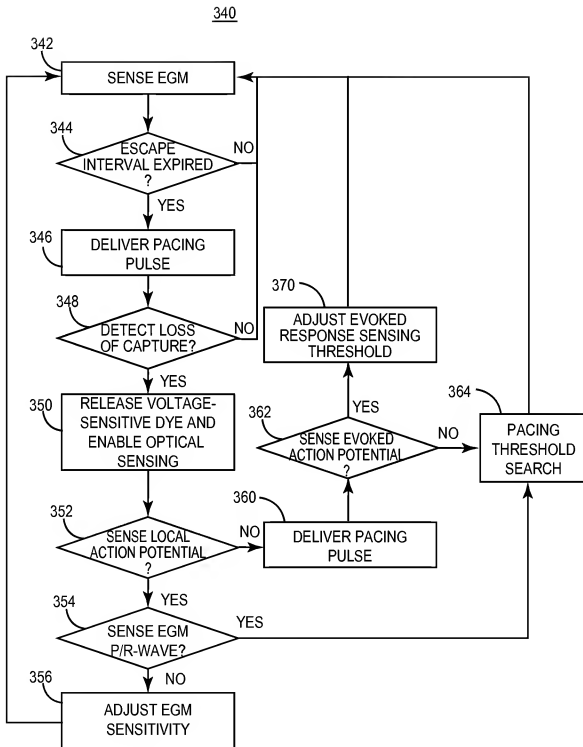


Fig. 17

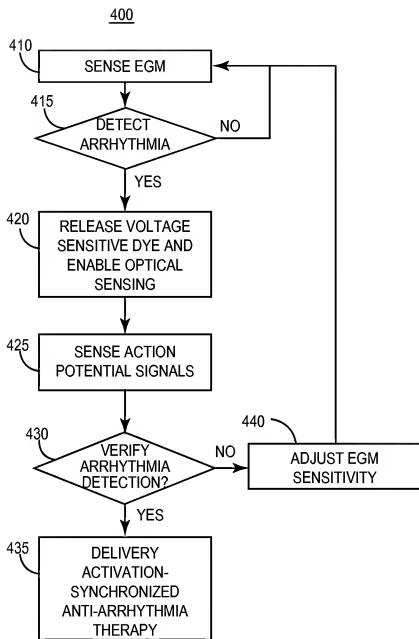
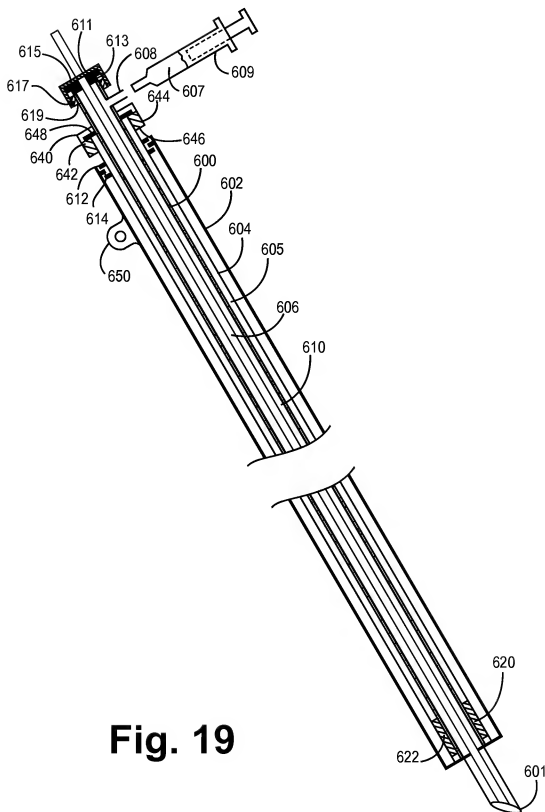


Fig. 18



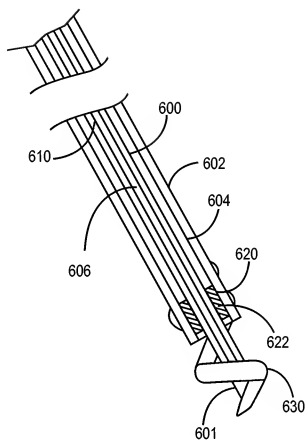


Fig. 20

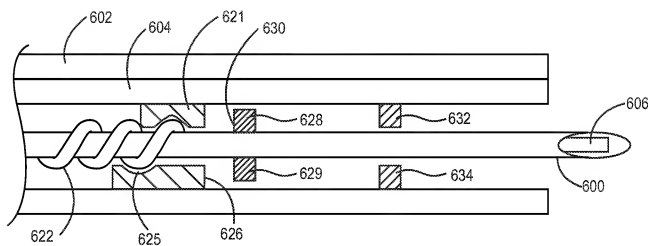


Fig. 21

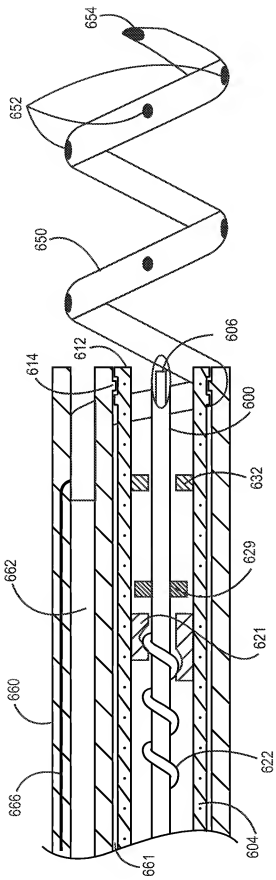


Fig. 22

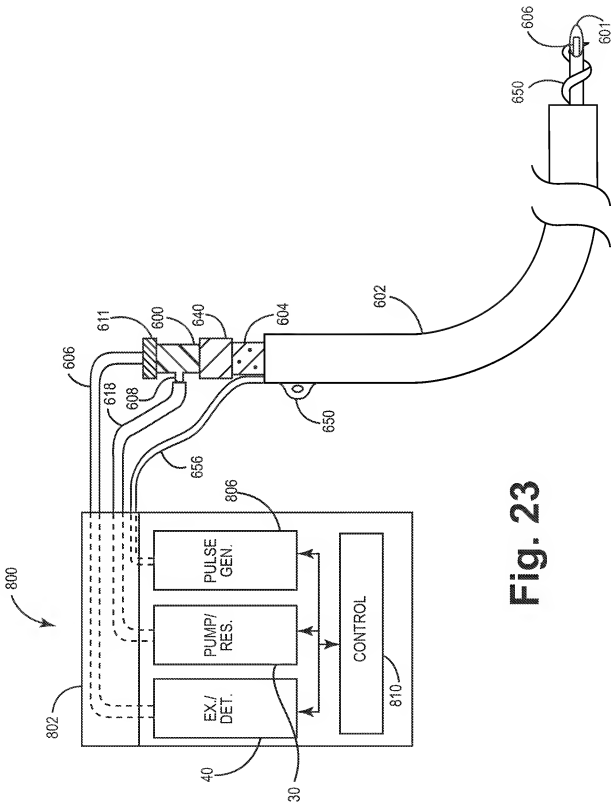


Fig. 23

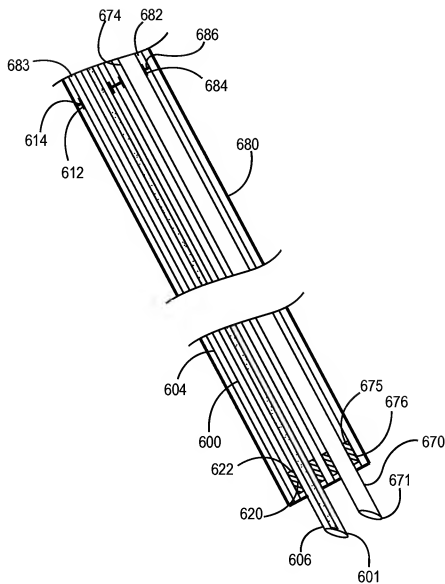


Fig. 24